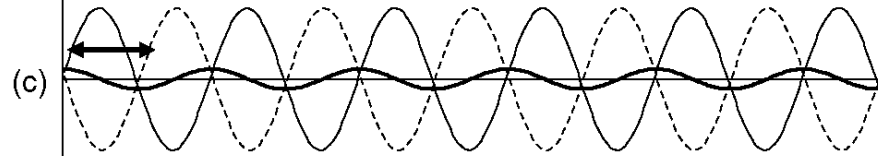
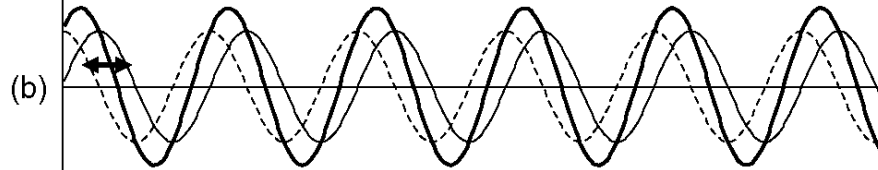
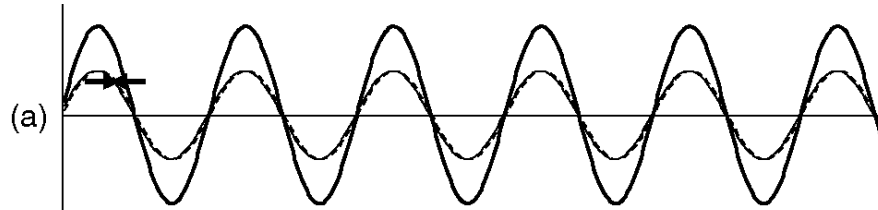


Strukturaufklärung in der molekularen anorganischen Chemie

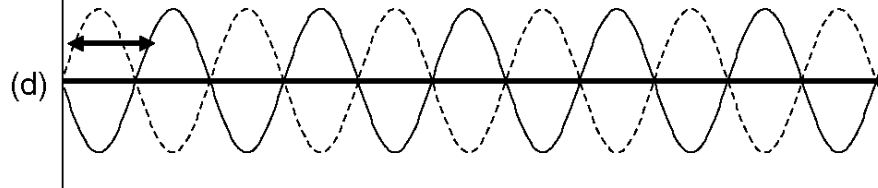
8. Diffraktion

Interferenz

konstruktiv



destruktiv

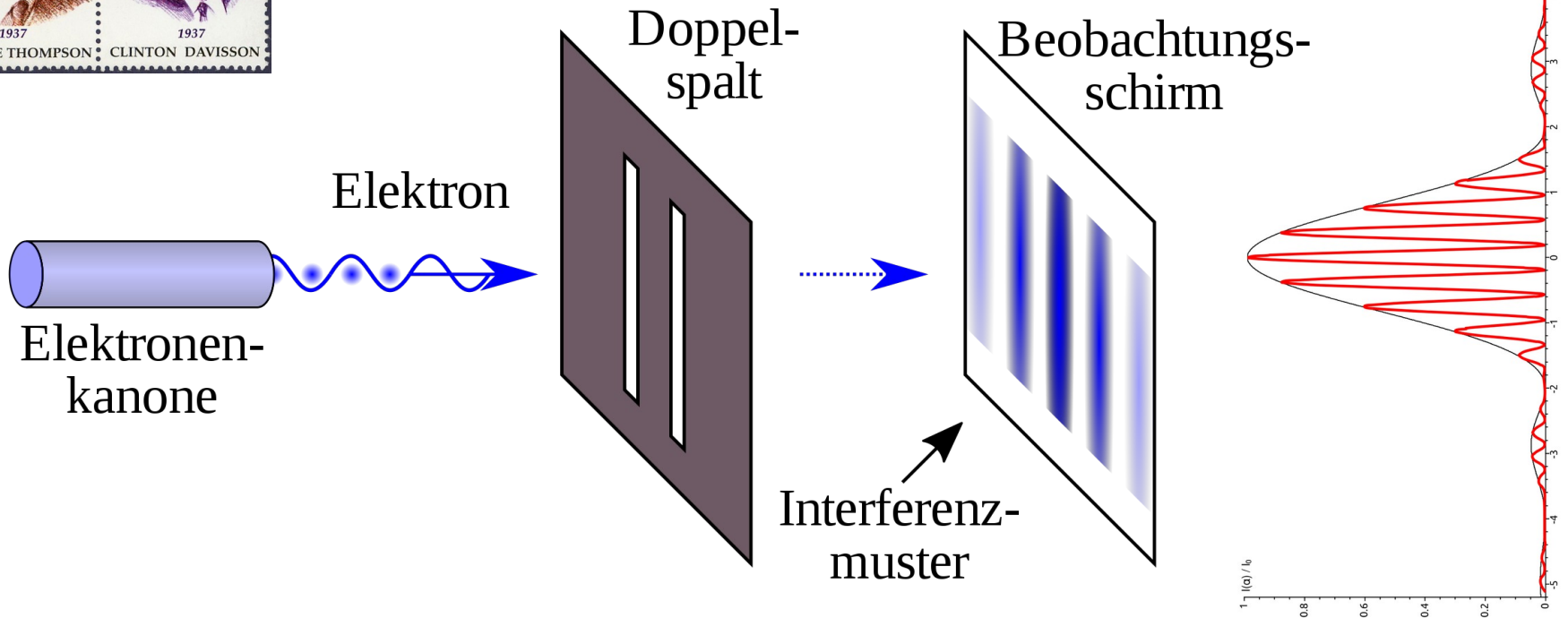


Anwendungen:

Interferometer,
Antischall,
etc....

Diffraction \neq Interferenz !

Doppelspaltexperiment



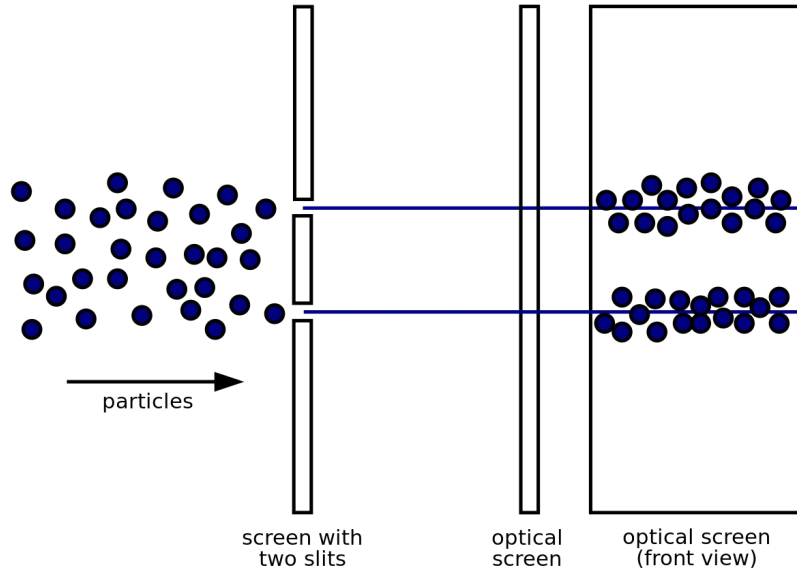
Thomas Young, 1801 (f. Licht)

Davisson, Germer, Thompson 1927 (f. Elektronen)

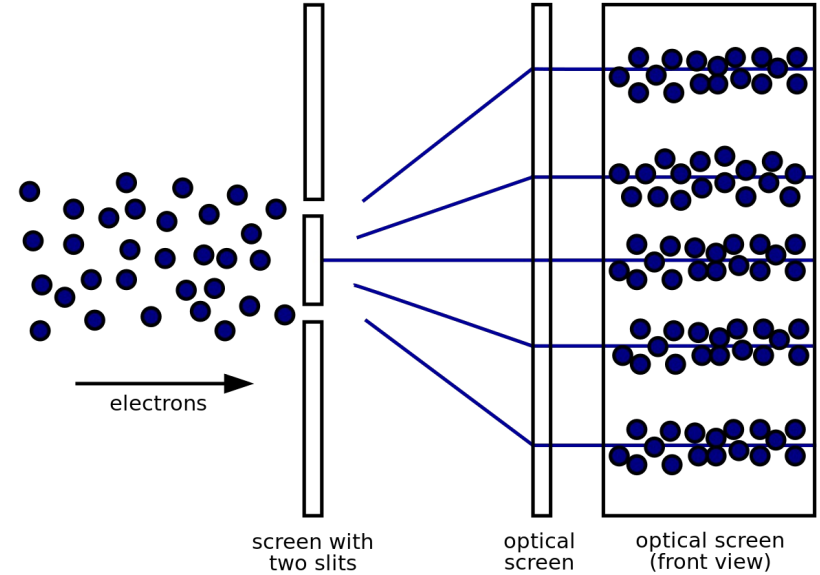
(s. Movie f. klassische Wellen)

Doppelspaltexperiment

Teilchen-Modell



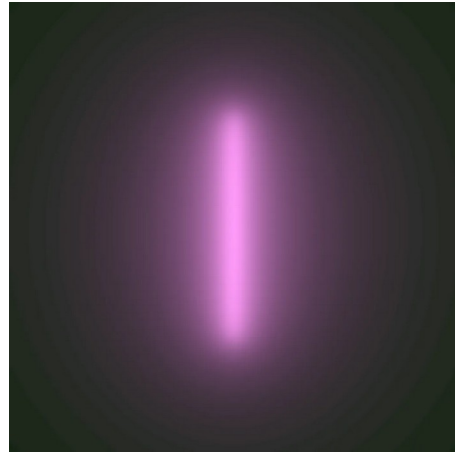
Wellen-Modell



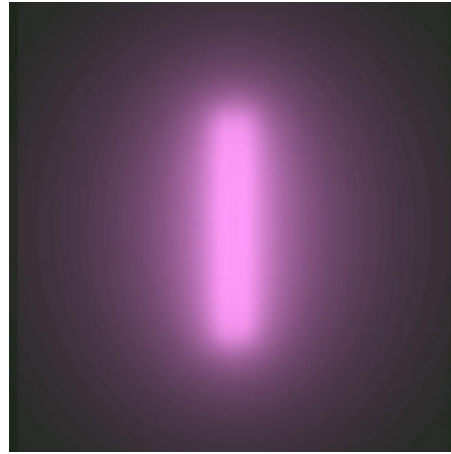
Spaltexperiment-Simulationen

Teilchen-Modell

Einzelspalt

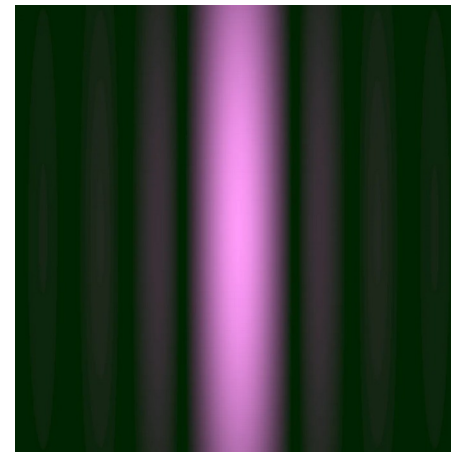


Doppelspalt

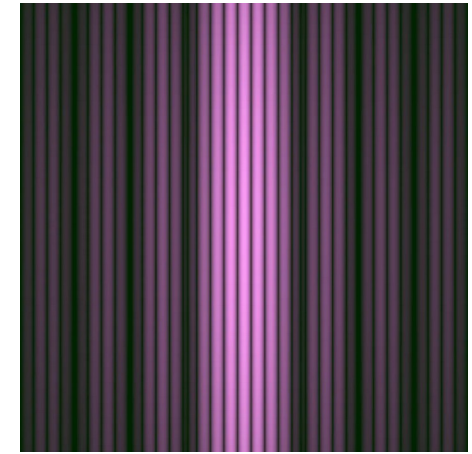


Wellen-Modell

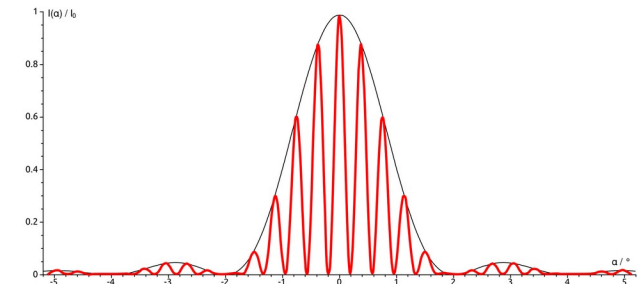
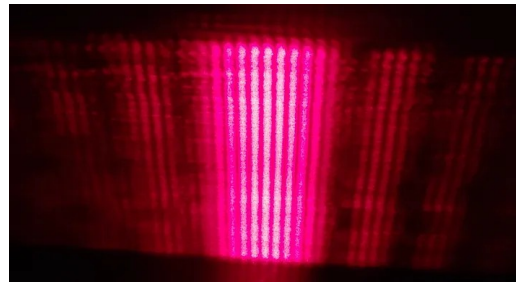
Einzelspalt



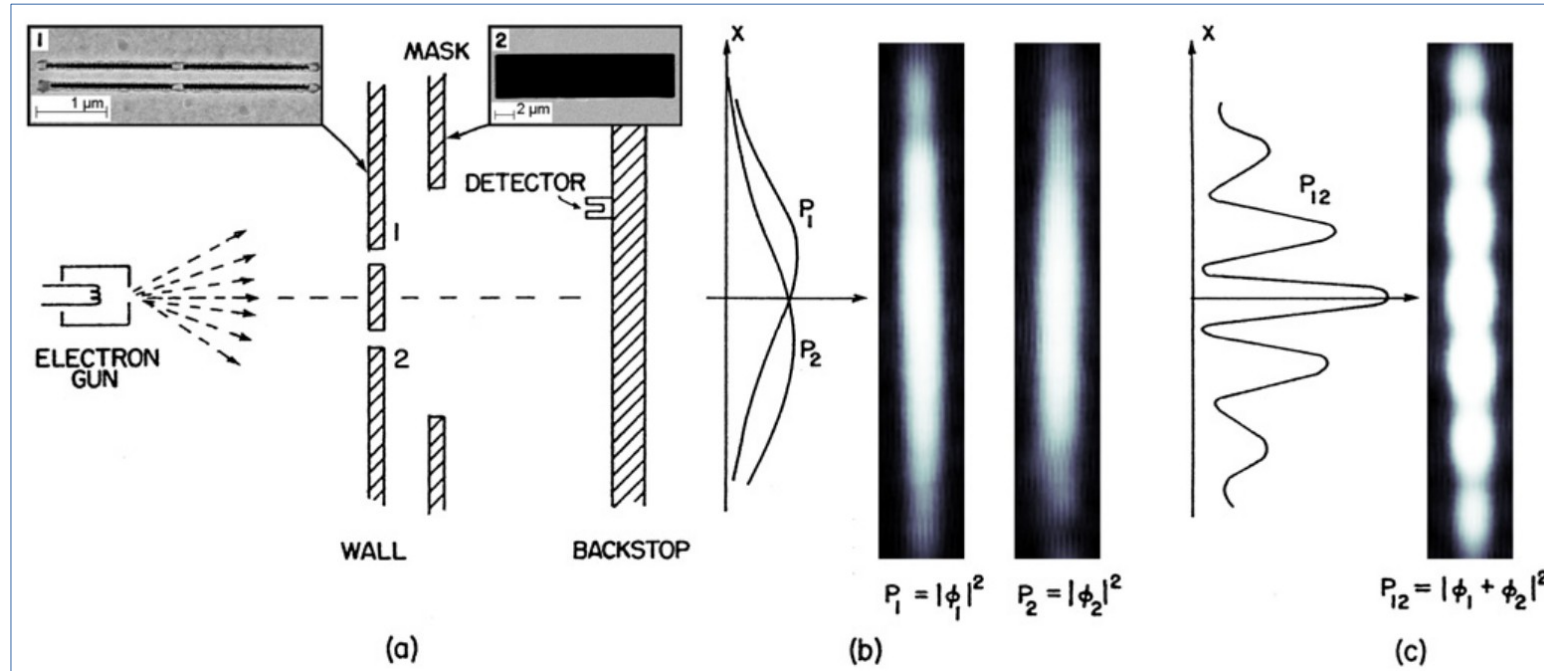
Doppelspalt



Experiment:



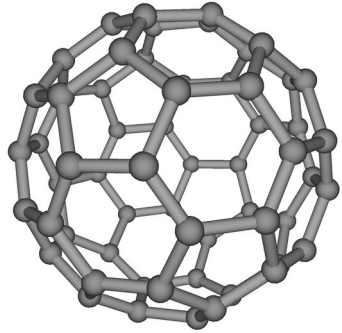
Kontrollierte Experimente



- Welle-Teilchen-Dualismus
- Interferenz einzelner Teilchen

(siehe Animationen!)

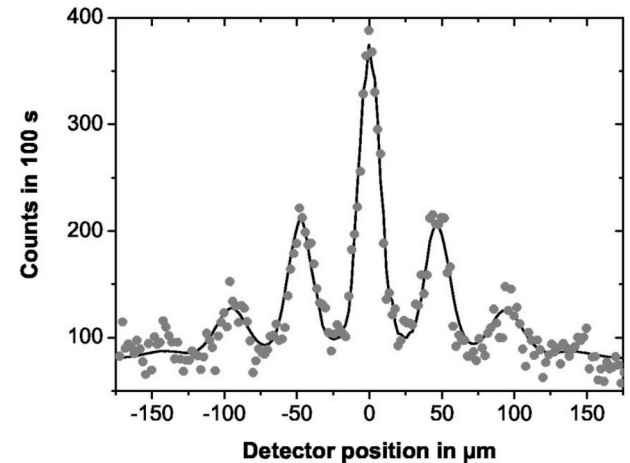
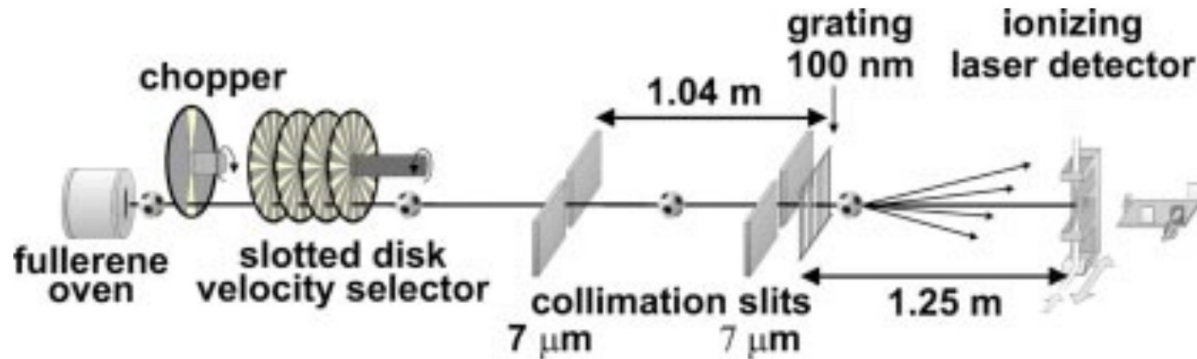
Doppelspaltexperiment mit C₆₀



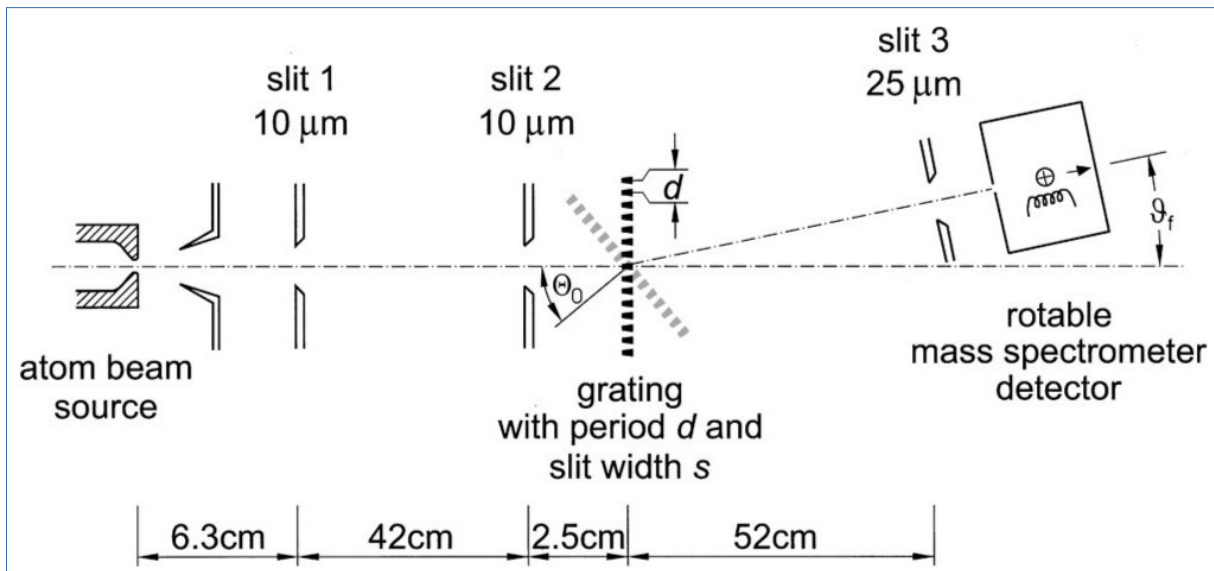
De-Broglie-Welle $\lambda = \frac{h}{mv}$

$m = 1.2 \times 10^{-24} \text{ kg}$ $v = 200 \text{ m/s}$

$\lambda = 2.8 \text{ pm}$



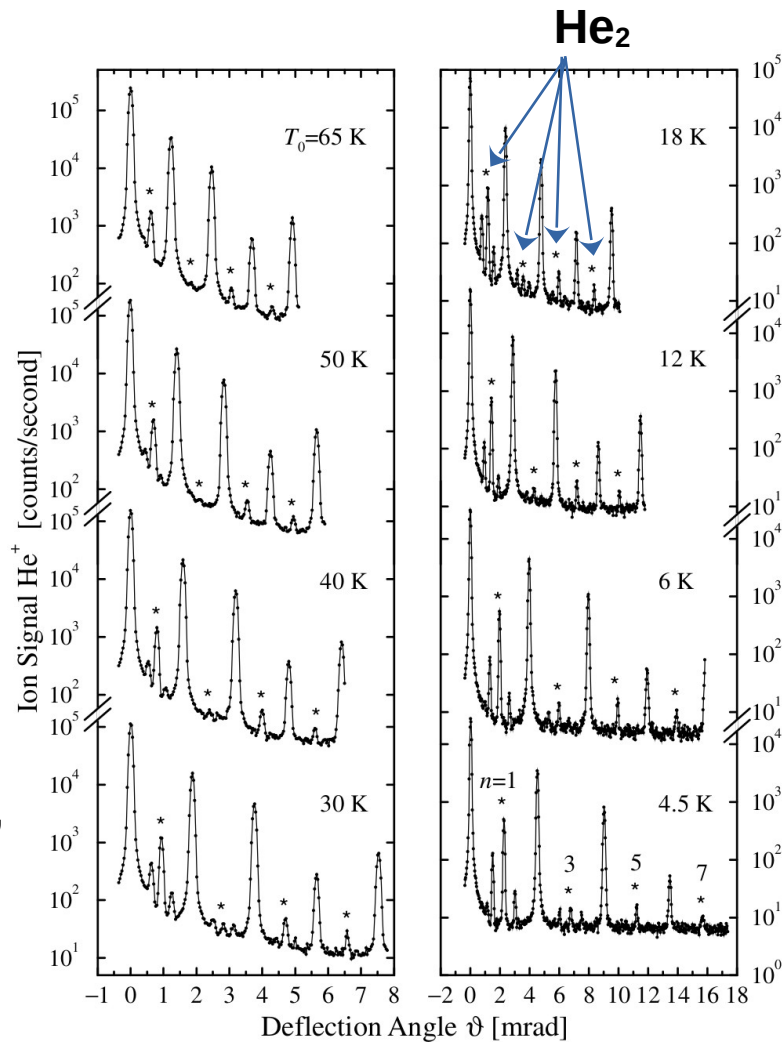
Beugung von He an Gitter



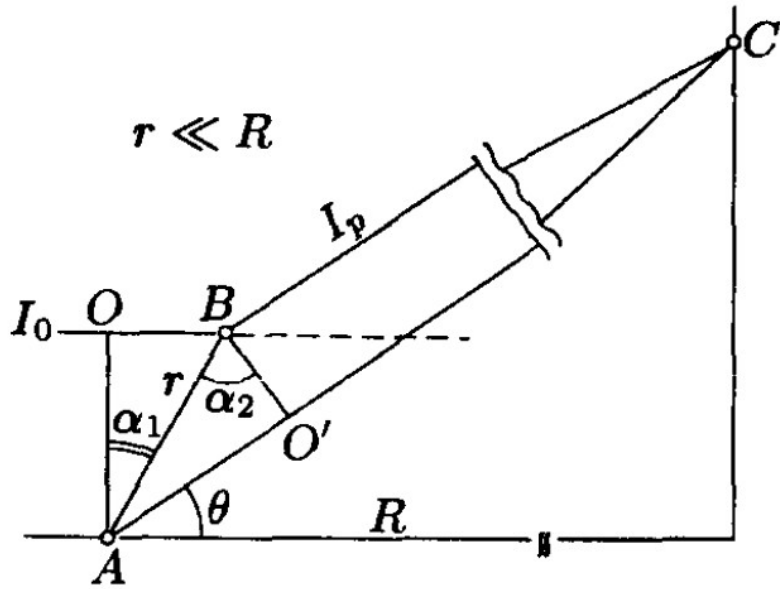
$$r_0(\text{He}\dots\text{He}) = 52 \pm 4 \text{ \AA} \text{ (aus diesem Experiment)}$$

$$r_e(\text{He}\dots\text{He}) = 3.087 \text{ \AA} \text{ (ae-CCSDTQ/cc-pV6Z)}$$

R. E. Grisenti, W. Schöllkopf, J. P. Toennies, J. R. Manson, T. A. Savas, H. I. Smith, Phys. Rev. A 2000, 61, 033608.
 R. E. Grisenti, W. Schöllkopf, J. P. Toennies, G. C. Hegerfeldt, T. Köhler, M. Stoll, Phys. Rev. Lett. 2000, 85, 2284.



Interferenz, klassisch



$$\Delta = AO' - BO = r(\sin\alpha_2 - \sin\alpha_1)$$

$$\Delta = n\lambda \quad (n \in \mathbb{Z}) \rightarrow \text{konstruktiv}$$

$$\Delta = \frac{2n+1}{2}\lambda \rightarrow \text{destruktiv}$$

$$\lambda = \frac{r}{n} (\sin\alpha_2 - \sin\alpha_1)$$

$$\left[\frac{(\sin\alpha_2 - \sin\alpha_1)}{n} < 1 \right] \Rightarrow \boxed{\lambda \leq r}$$

Diffraktionsmethoden

	Hard X-ray	Soft X-ray	Vacuum UV	Near UV	Visible blue red	Near IR	Mid IR	Far IR	Sub-mmwave	mm-wave	Micro-wave	Radio-wave
\leftarrow $< 0.1 \text{ \AA}$	5 \AA	100 \AA	2000 \AA		0.7 μm	2.5 μm	25 μm			1 mm		10 cm \rightarrow
		10 nm	200 nm	400 nm	700 nm	2500 nm						
$> 10^9$	2×10^7	10^6	5×10^4	2.5×10^4	1.4×10^4	4000	400			10		0.1
1.2×10^7	2.4×10^5	1200	600	300	170	48	4.8			0.12		1.2×10^{-3}
120 000	2400	120	6	3	1.7	0.5	0.05			0.001		0.00001
3×10^{19}	6×10^{17}	3×10^{16}	1.5×10^{15}	7.5×10^{14}	4×10^{14}	1.2×10^{14}	1.2×10^{13}			3×10^{11}		3×10^9

λ : $\sim 0.05 \text{ \AA}$ (GED); $\sim 0.003 \text{ \AA}$ (UED); **$0.5 - 2.5 \text{ \AA}$** (XRD); **$0.5 - 5.0 \text{ \AA}$** (ND)

Charakteristische Zeit: $\Delta E \times \Delta t \geq \hbar \rightarrow \Delta t \geq \hbar / \Delta E = 1 / (2\pi\nu) \rightarrow \Delta t \geq 10^{-20} \text{ Sek.}$
 Aber wenn $\lambda \ll \text{Mol. Gr\ddot{o}\ss e}$ (z.B. in GED), dann $\Delta t \geq 10^{-18} \text{ Sek.}$

Diffraktionsmethoden

Wechselwirkung mit Strahlung:

- (Optische/Radio) Spektroskopie
- Streuung/Diffraktion
- Resonanzmethode
- Elektrische Methode
- Ionisation

Probe Beeinflussung:

- Destruktiv
- Nicht destruktiv

Anwendung:

- Identifizierung/Sauberkeit
- Elementaranalyse
- Chemische Gruppen
- Chemische Konnektivität
- Konformations-Eigenschaften
- Symmetrie
- Geometrie (Längen, Winkel)
- Schwingungen
- Elektronische Struktur (/Dichte)
- (Elektrische) Dipolmomente

Charakteristische Zeit:

- Langsame Methode
- Mittelschnelle Methode
- Schnelle Methode

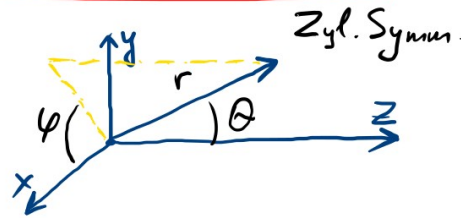
Aggregatzustand der Probe:

- Gas
- Flüssigkeit
- Feststoff

El.-Streuung, quantenmechanisch

$\xrightarrow{e^-}$ \xrightarrow{z} $\hat{H}\Psi = E\Psi$ $-\frac{\hbar^2}{2m}\Delta\Psi = \frac{mV^2}{2}\Psi$
 $\Psi(z) = e^{-ikz}$ ← Ebenewelle
 $k = \frac{2\pi}{\lambda}$ ← Wellenvektor

Atom:

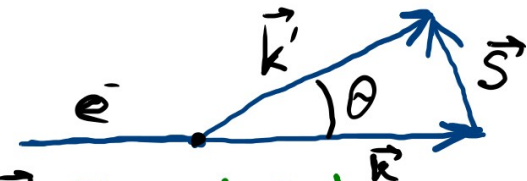


$$-\frac{\hbar^2}{2m}\Delta\Psi + V(r)\Psi = E\Psi$$

$$\Psi = \frac{f(\theta)}{r} \cdot e^{-ikr}$$
 ← Kugelwelle

$$f^B(\theta) \rightarrow f^B(s) = \frac{2}{a_0 \cdot s^2} [Z - F(s)]$$

$$I = I_0 \cdot |\Psi|^2 = I_0 \cdot \frac{|f(s)|^2}{R^2}$$



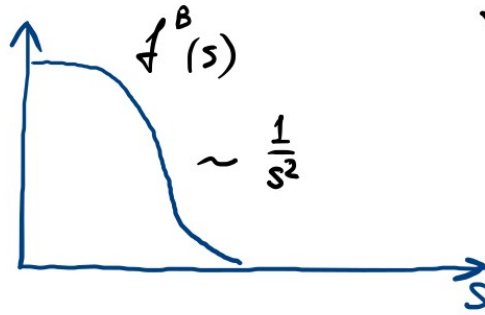
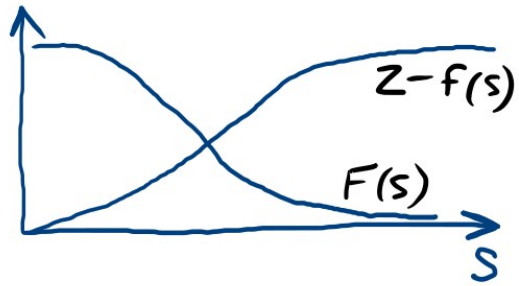
\vec{S} Impulsänderung

$$|S| = \frac{4\pi}{\lambda} \cdot \sin\left(\frac{\theta}{2}\right)$$

← Elastische Streuung

Streuung, quantenmechanisch

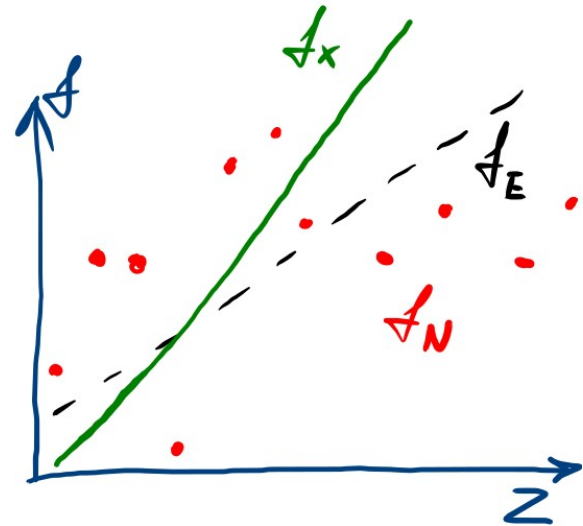
$$F(s) = \int 4\pi\rho(r)r^2 \frac{\sin(sr)}{sr} \cdot dr \quad \leftarrow \text{Formfaktor}$$



$$f^B(s) = \frac{2}{a_0 \cdot s^2} [Z - F(s)]$$

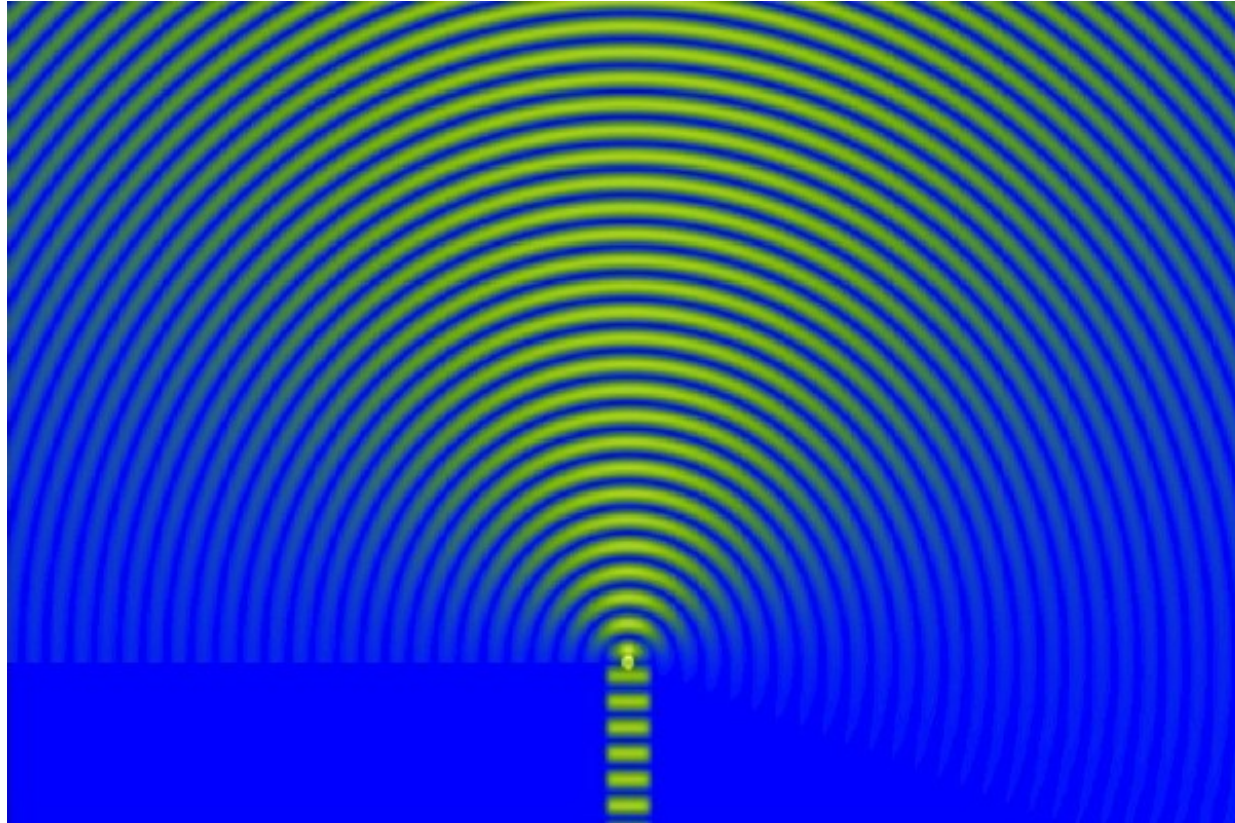
Für Röntgenstrahlung: $f_x(s) = \frac{e^2}{mc} \cdot F(s)$

Für Neutronenstrahlung: $f_N(s)$ aus Experiment



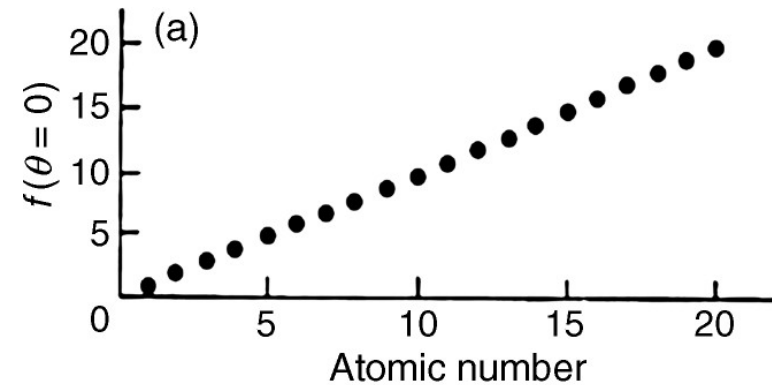
ND ist gut für H Atome!

Elektronenwelle trifft auf ein Atom

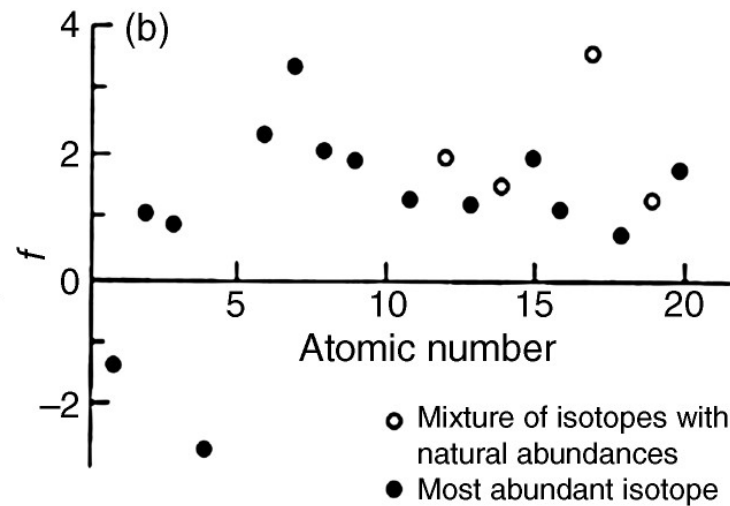


Streuamplituden: GED, XRD, ND

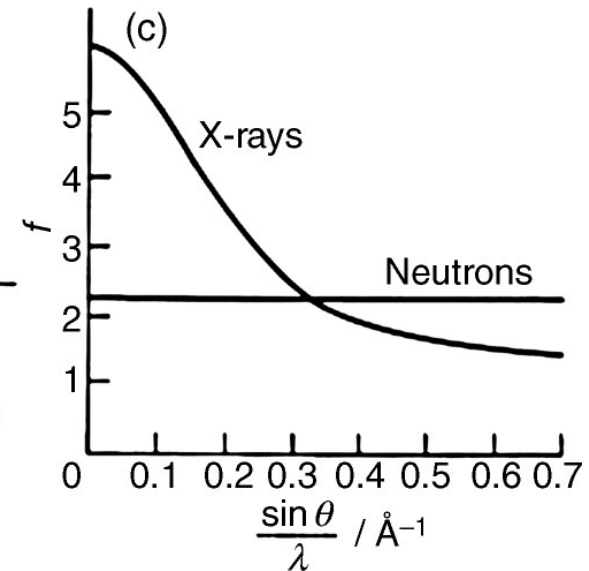
GED, XRD



ND



Winkelabhängigkeit

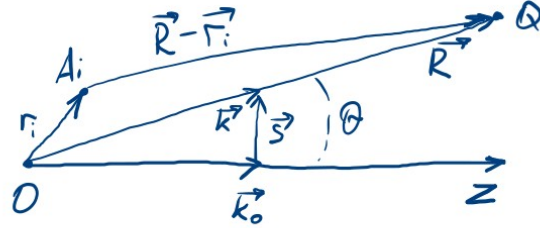


Vergleich XRD – GED – ND

	XRD	GED	ND
Wellenlänge	0.5 – 2.5 Å	~ 0.05 Å	0.5 – 4.0 Å
E_{kin}	10.000 eV	40.000 – 90.000 eV	0.025 eV
Wechselwirkung mit	Elektronen	elektrischen Potentialen	Kernen
$f_X : f_{\text{EI}} : f_N$	1	10^3	10^{-1}
$I_X : I_{\text{EI}} : I_N$	1	10^6	10^{-2}

El.-Diffraktion an Molekülen

Atom A_i in Molekül:



$$\Psi_i \approx f_i(s) \frac{e^{ikR}}{R} \cdot e^{i\vec{r}_i \cdot \vec{s}}$$

$$\Psi_{\text{ges}} = \sum_i \Psi_i$$

$$I = I_0 |\Psi|^2 \approx \frac{I_0}{R^2} \sum_i \sum_j f_i(s) \cdot f_j(s) \cdot e^{i\vec{s} \cdot \vec{r}_{ij}}$$

Mittlerung: a) Orientierungen $\rightarrow I = \frac{I_0}{R^2} \sum_i \sum_j f_i(s) \cdot f_j(s) \cdot \frac{\sin(s r_{ij})}{s \cdot r_{ij}}$

b) Schwingungen $\rightarrow P(r) \sim e^{-\frac{(r-r_0)^2}{2\ell^2}}$

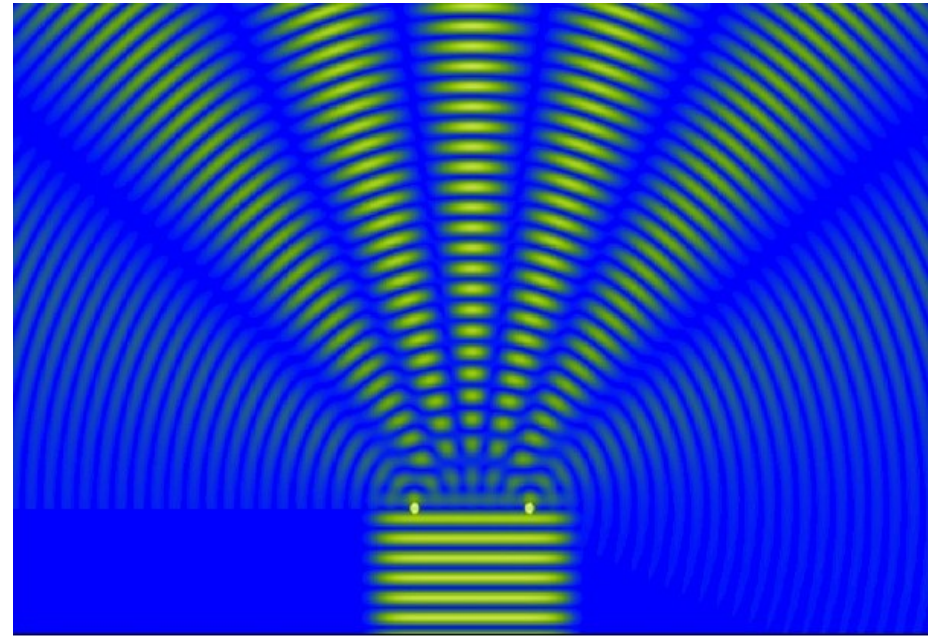
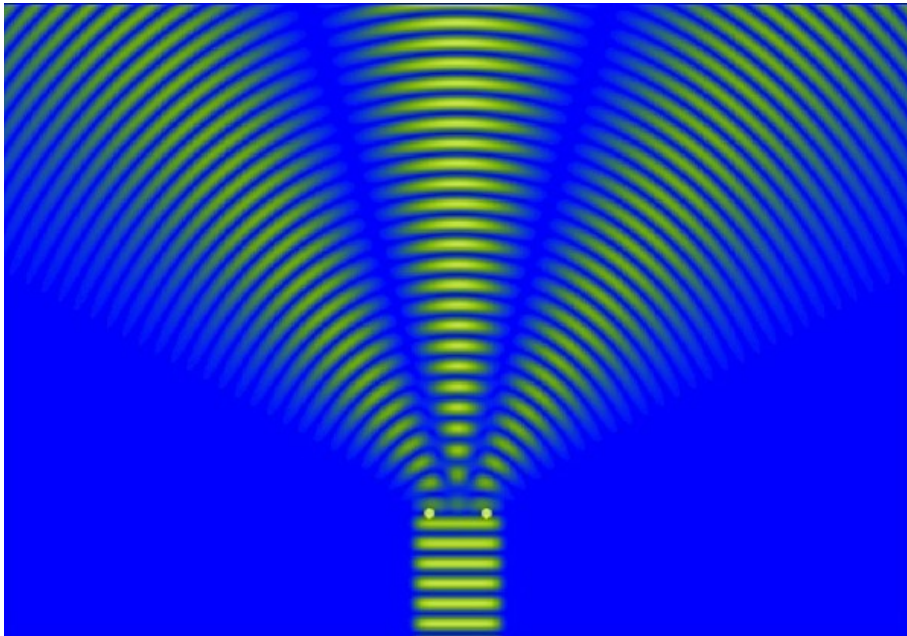
$$\rightarrow I = \frac{I_0}{R^2} \sum_i \sum_j f_i \cdot f_j \cdot \int_0^\infty P(r_{ij}) \frac{\sin(s r_{ij})}{s \cdot r_{ij}} dr_{ij} = \frac{I_0}{R^2} \sum_i \sum_j f_i \cdot f_j \cdot e^{-\frac{\ell^2 s^2}{2}} \cdot \frac{\sin(s r_0)}{s \cdot r_0}$$

Elektronenwelle trifft auf zwei Atome

Abstand

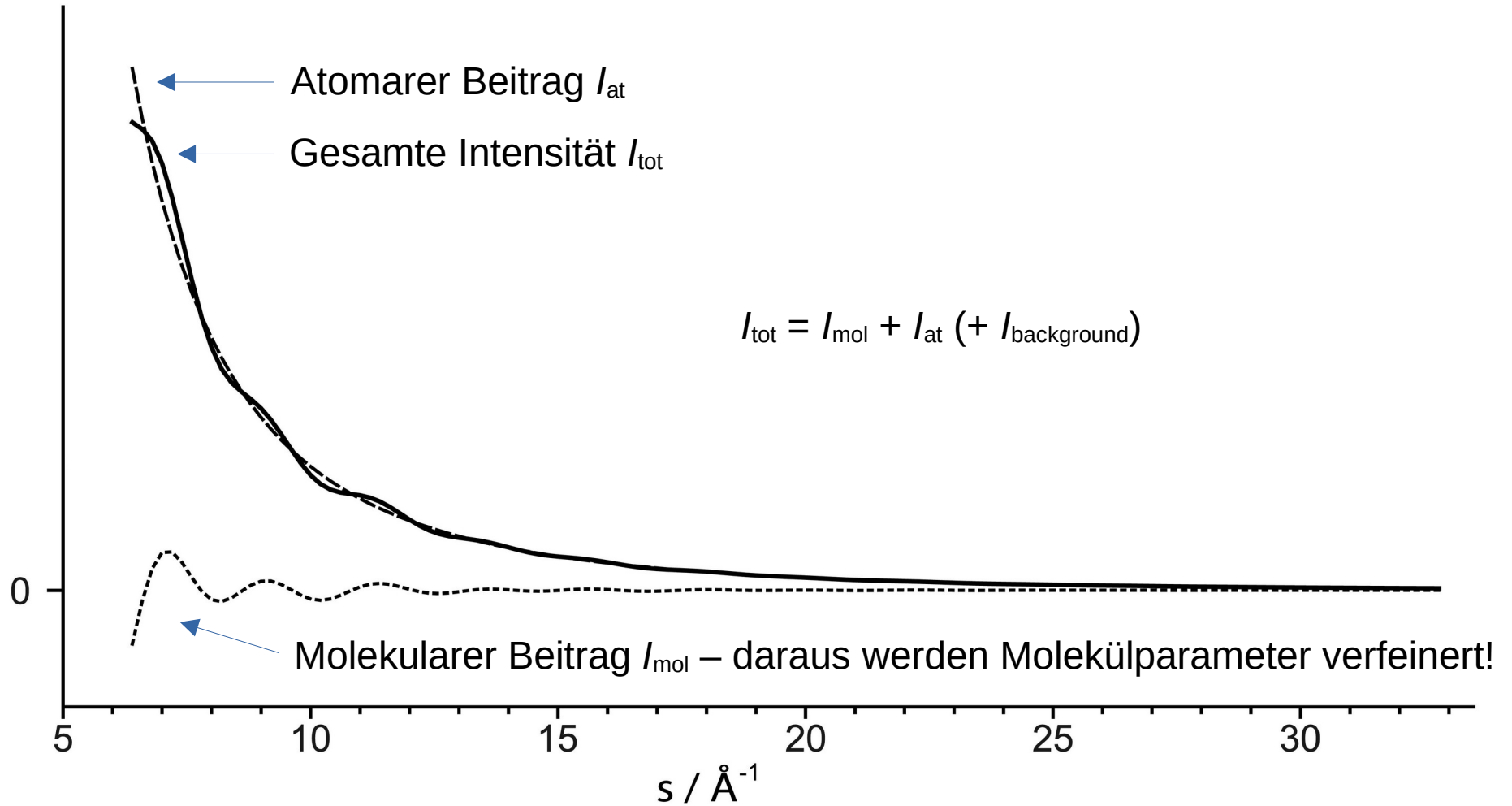
r

$2r$



(Ohne Mittelung über Orientierungen und Schwingungen)

GED: Intensität



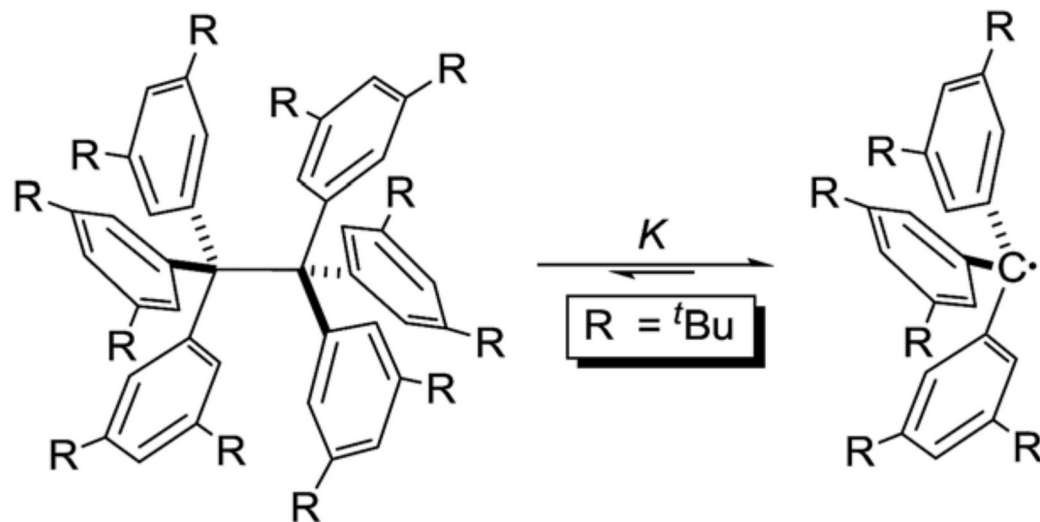
Molekül(e) des Tages



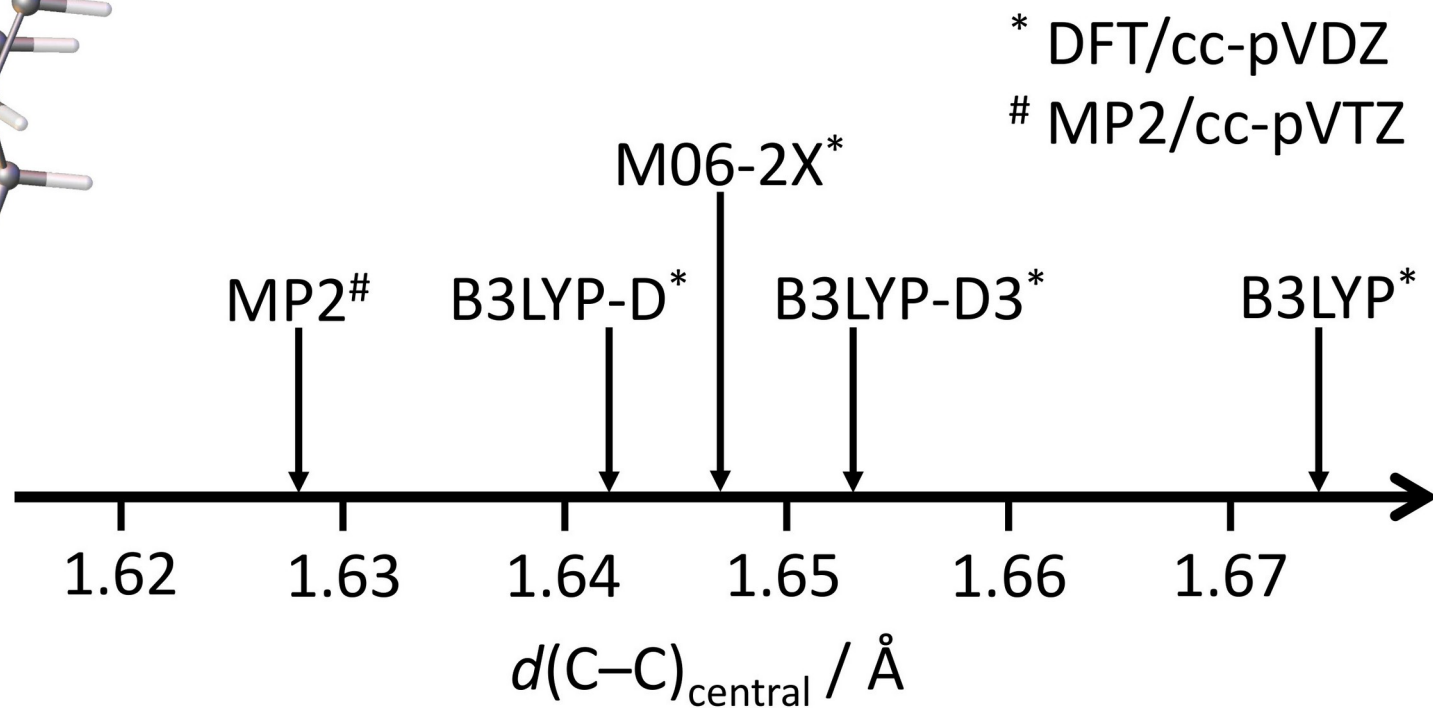
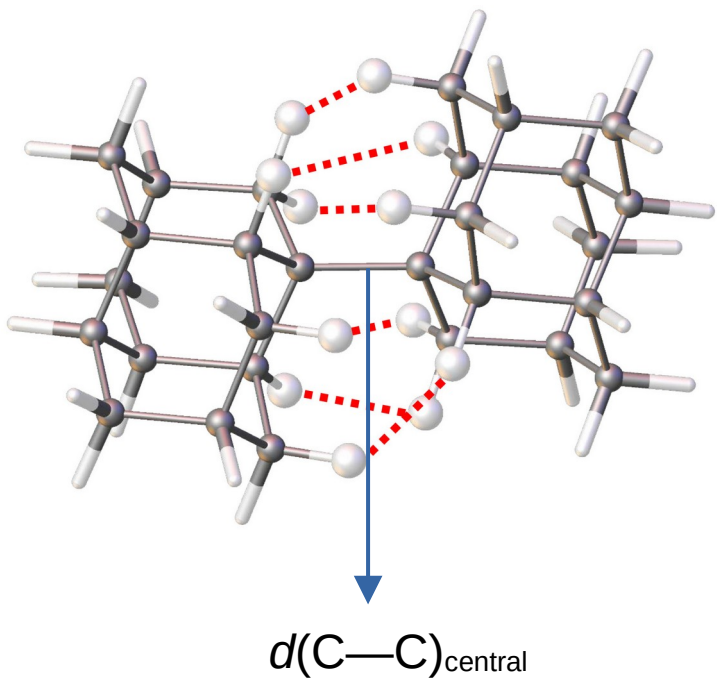
Intramolecular London Dispersion Interaction Effects on Gas-Phase and Solid-State Structures of Diamondoid Dimers

Andrey A. Fokin,^{*,∞,‡} Tatyana S. Zhuk,[∞] Sebastian Blomeyer,^{§,id} Cristóbal Pérez,^{||,id} Lesya V. Chernish,[∞]
Alexander E. Pashenko,[∞] Jens Antony,[⊥] Yury V. Vishnevskiy,[§] Raphael J. F. Berger,^{#,id} Stefan Grimme,^{⊥,id}
Christian Logemann,[∇] Melanie Schnell,^{*,||} Norbert W. Mitzel,^{*,§,id} and Peter R. Schreiner^{*,‡,id}

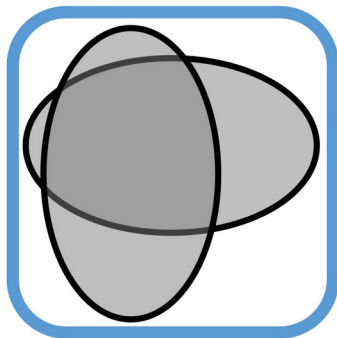
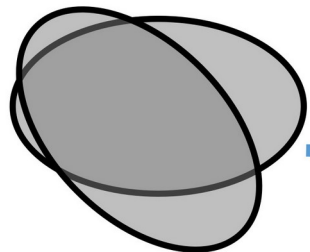
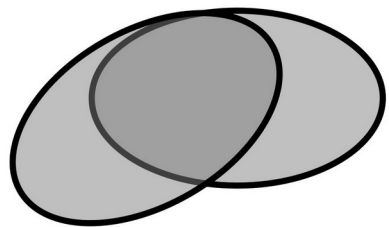
Sterische Hinderung



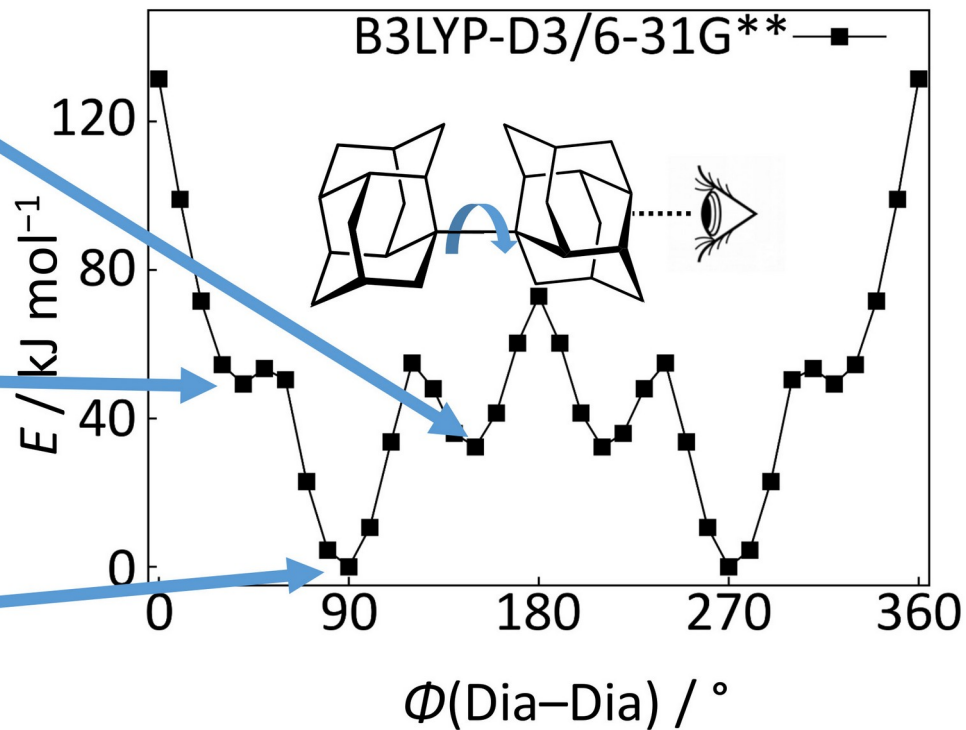
Rechnungen, $r(\text{C—C})$



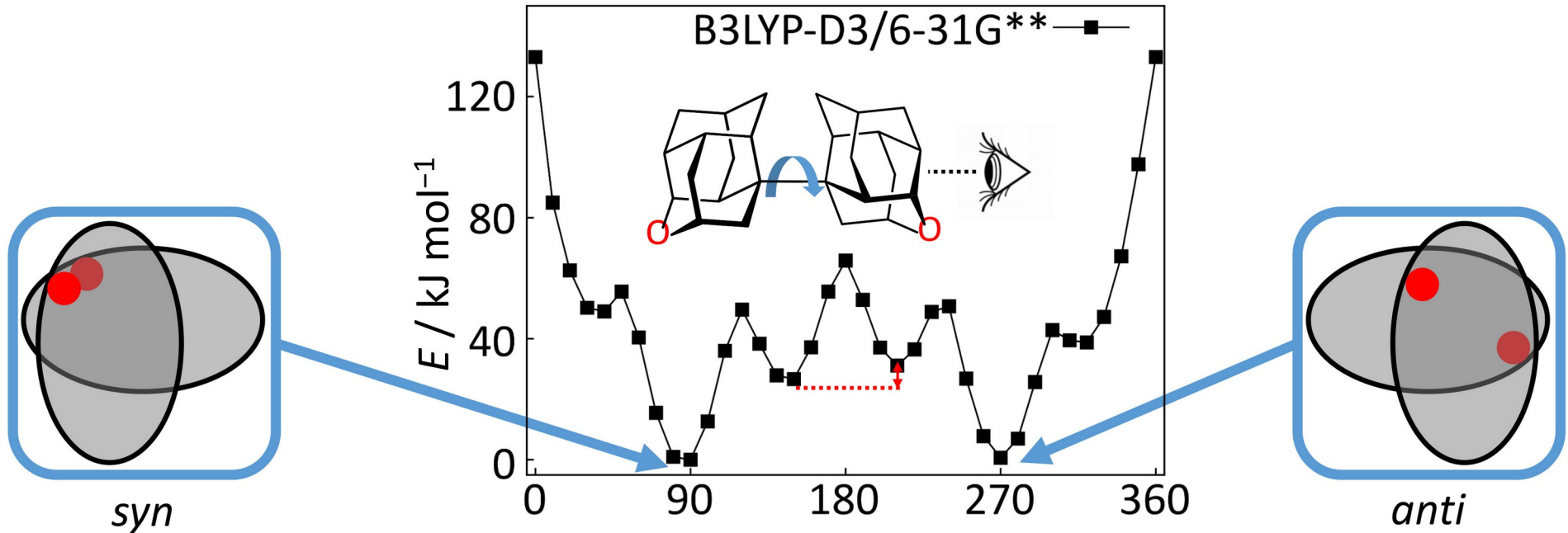
Rechnungen, Konformere



$T = 583 \text{ K}$
 $\chi = 99 \%$



Rechnungen, O-Diamondoid-Dimer



$$\Delta E_{\text{syn-anti}} = 1.2 \text{ kJ mol}^{-1}$$

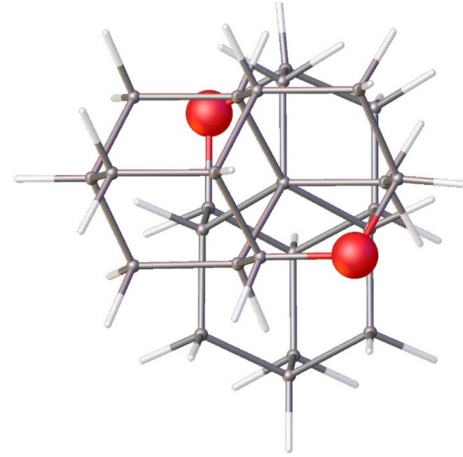
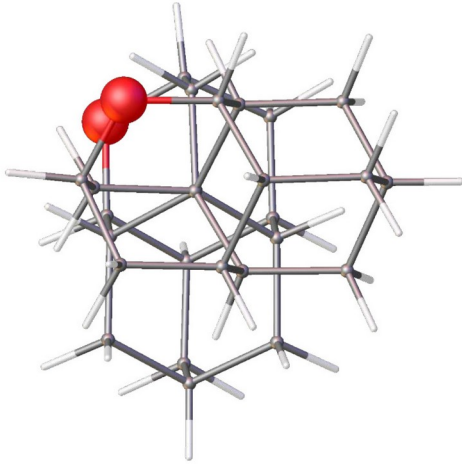
→ zwei-Konformer-Modell

Zusätzliche Parameter:

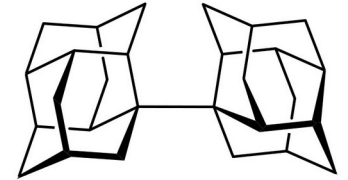
- $d(\text{C-O})$
- $\Phi_2(\text{Dia-Dia})$
- $\chi_{\text{syn:anti}}$

GED/MW Strukturanalyse

syn
 $\mu_A = \mu_B = 0 \text{ D}$
 $\mu_C = 2.5 \text{ D}^*$



anti
 $\mu_A = \mu_B = 0 \text{ D}$
 $\mu_C = 0.4 \text{ D}^*$



$\mu_A = \mu_B = 0 \text{ D}$
 $\mu_C = 0.05 \text{ D}^*$

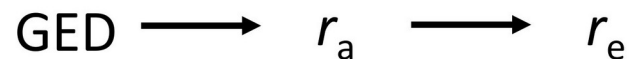
*PBEh-3c

Rotationskonstanten:

$$A = 396.3518(1) \text{ MHz}$$

$$B = 158.91216(8) \text{ MHz}$$

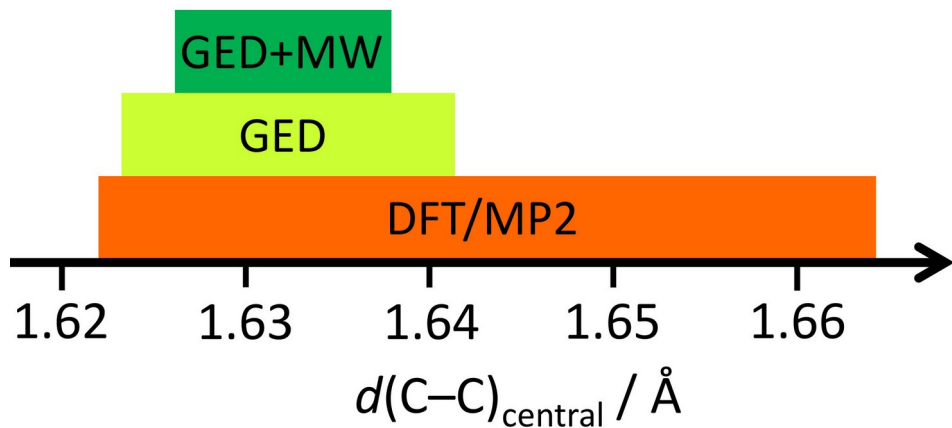
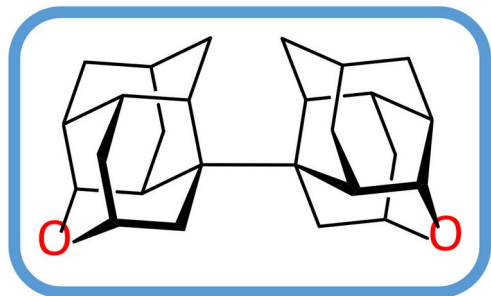
$$C = 158.83150(8) \text{ MHz}$$



\searrow
 GED+MW
 Verfeinerung

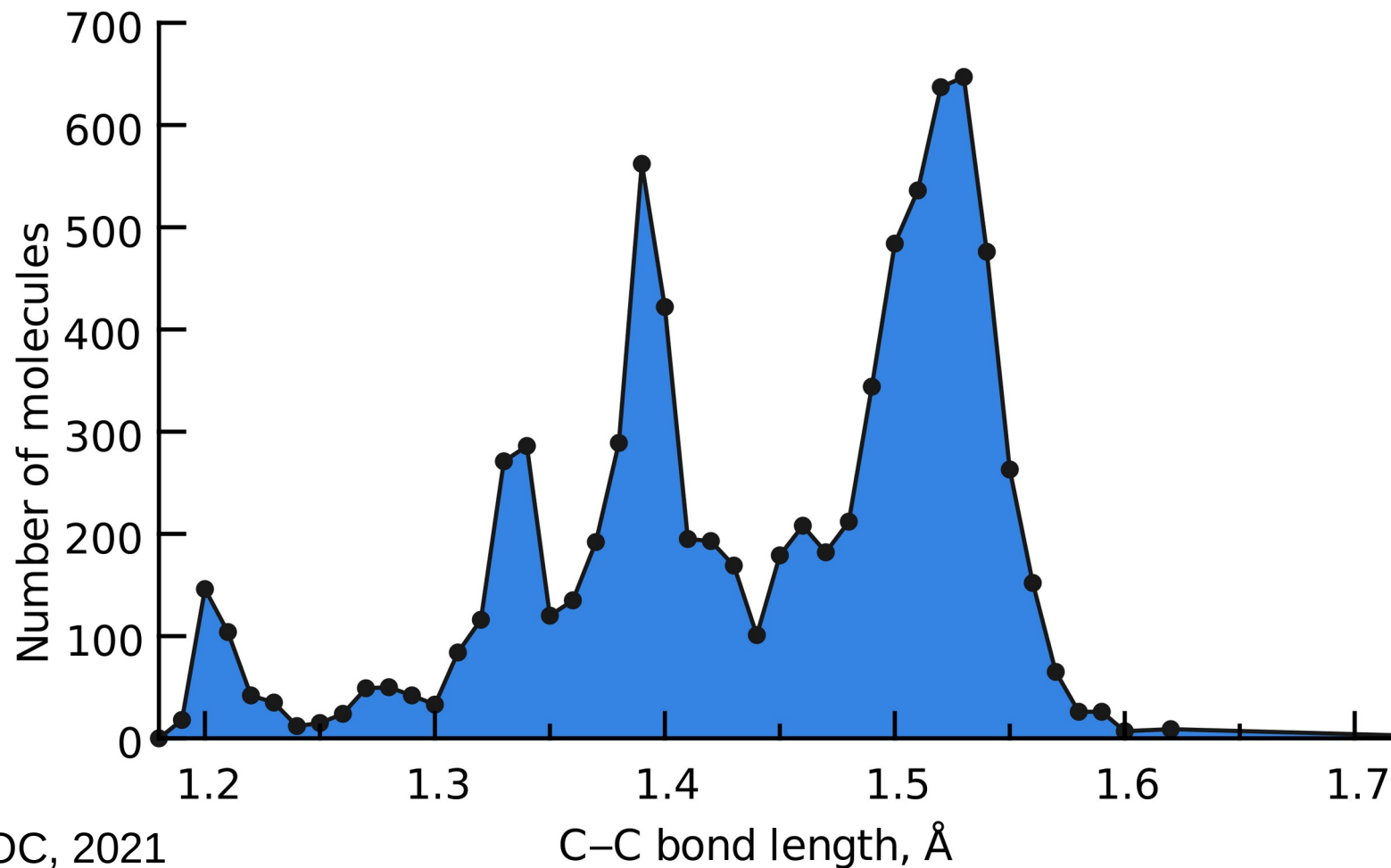


Ergebnisse: $r_e(\text{C}-\text{C})$

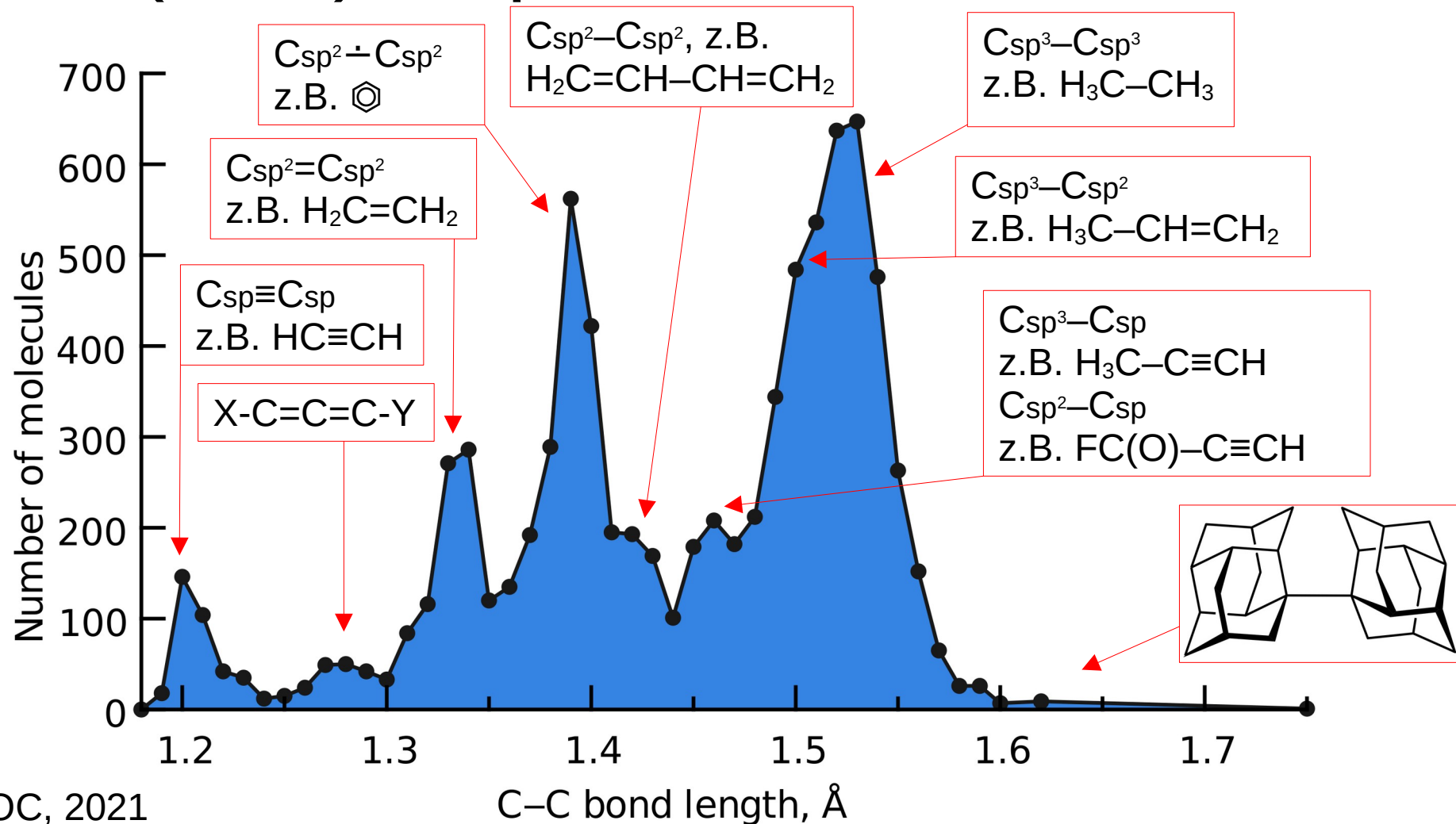


Methode	O-Dimer	Dimer
XRD	1.643(1)	1.647(4)
GED	1.632(9)	1.630(5)
GED+MW	1.632(5)	-
B3LYP/cc-pVTZ	1.662	1.674
TPSS/cc-pVTZ	1.658	1.668
HF/cc-pVTZ	1.652	1.664
B97-D3/cc-pVTZ	1.651	1.662
B3PW91/cc-pVTZ	1.646	1.657
TPSS-D3/cc-pVTZ	1.642	1.652
B3LYP-D3/cc-pVTZ	1.642	1.653
ω B97XD/cc-pVTZ	1.638	1.648
PBE0/cc-pVTZ	1.637	1.648
M06-2X/cc-pVTZ	1.636	1.647
PBEh-3c	1.632	1.642
SCS(1.2;2/3)-MP2/def2-QZVP	1.629	1.640
PBE0-D3/cc-pVTZ	1.628	1.638
B3PW91-D3/cc-pVTZ	1.627	1.636
PW6B95-D3/def2-QZVP	1.626	1.636
ae-MP2/cc-pwCVTZ	1.622	1.633

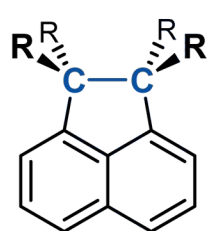
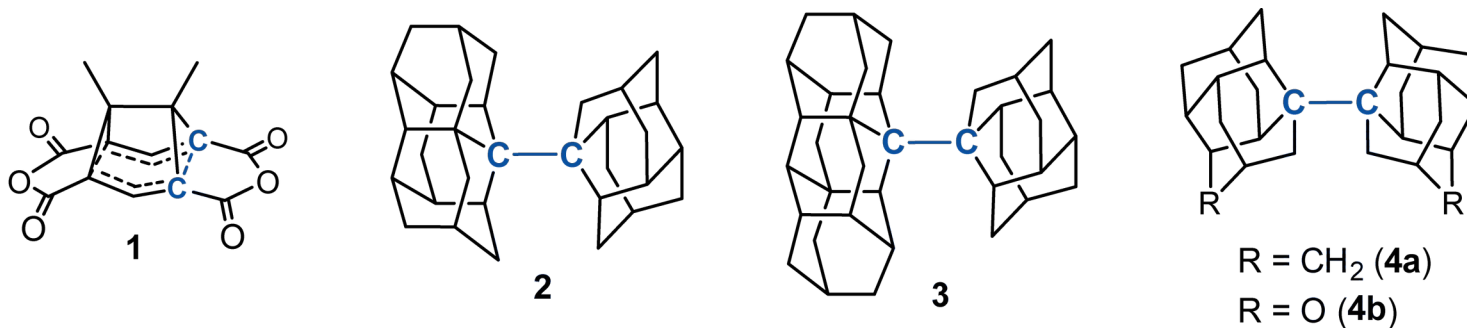
$r(\text{C}-\text{C})$: Experimentelle Daten



$r(\text{C}-\text{C})$: Experimentelle Daten



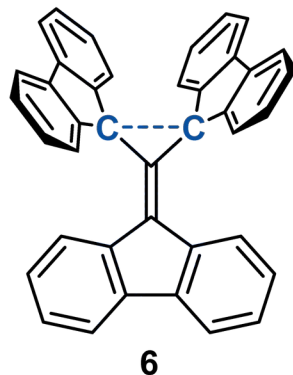
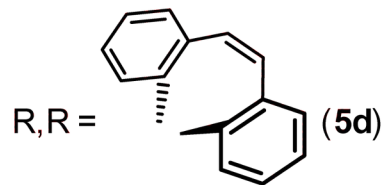
$r(\text{C}-\text{C})$: noch länger?



R = H (**5a**)

R = 4-*t*-Bu-C₆H₄ (**5b**)

R = C₆H₅ (**5c**)



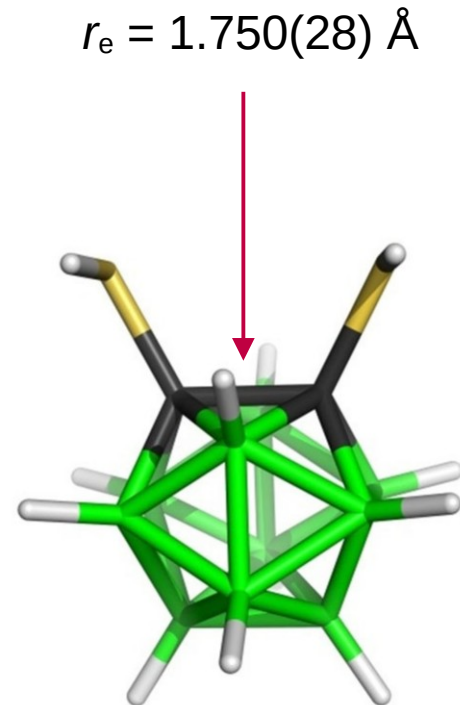
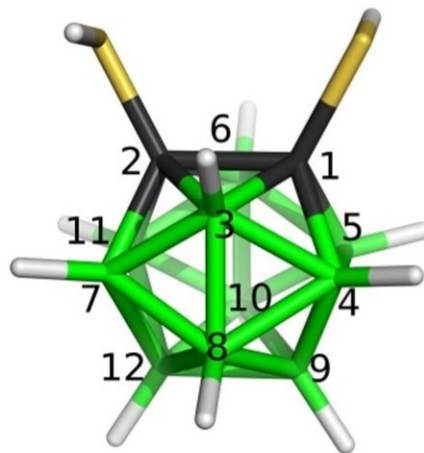
	$d(\text{C}-\text{C})$ (s) [Å]	$d(\text{C}-\text{C})$ (g) [Å]
1	1.670(1)	1.737(44)
2	1.704(4)	n.a.
3	1.71	n.a.
4a	1.647(4)	1.630(5)
4b	1.642(2)	1.632(5)
5a	1.5640(4)	1.560(4)
5b	1.708(4)	n.a.
5c	1.701(3)	n.a.
5d	1.746(3)	n.a.
6	2.0415(5)	n.a.

Die längste C–C Bindung in der Gasphase

Carboranes

Icosahedral Carbaboranes with Peripheral Hydrogen–Chalcogenide Groups: Structures from Gas Electron Diffraction and Chemical Shielding in Solution

Tomáš Baše,^[a] Josef Holub,^[a] Jindřich Fanfrlík,^[b] Drahomír Hnyk,^{*[a]} Paul D. Lane,^[c, d] Derek A. Wann,^[c] Yury V. Vishnevskiy,^{*[e]} Denis Tikhonov,^[e, f, g] Christian G. Reuter,^[e] and Norbert W. Mitzel^{*[e]}



Quellen/Literatur

- D. W. H. Rankin, N. W. Mitzel, C. A. Morrison, *Structural Methods in Molecular Inorganic Chemistry*, John Wiley & Sons, Chichester, 2013.
- G. A. Sim, L. E. Sutton, Eds., *Molecular Structure by Diffraction Methods: Volumes 1 – 6*, The Royal Society Of Chemistry, 1973 – 1977.
- J. C. Lindon, Ed., *Encyclopedia of Spectroscopy and Spectrometry*, Academic Press, Amsterdam, Boston, 2010.